

MC68000 μ P의 데이터 處理機能에 관한 試驗알고리즘

(A Test Algorithm for Data Processing Function of MC68000 μ P)

金 鍾勲*, 安 光 善**

(Jong Hoon Kim and Gwang Seon Ahn)

要 約

本論文에서는 user's manual의 情報를 토대로 MC68000 μ P의 데이터 處理機能에 관한 효율적인 試驗알고리즘을 제시하였다.

機能試驗을 위한 試驗벡터는 데이터 記憶 및 傳送機能에 대한 stuck-at, 結合(coupling), 遷移(transition) 故障을 고려하였고 데이터 操作機能은 부울函數를 이용하여 결정하였다.

本 試驗알고리즘은 A) 最少의 試驗處理時間과 最大의 故障點檢率(fault coverage)을 위한 最適試驗命令語의 選定 B) 最少의 試驗模糊性(test ambiguity)을 위한 試驗順序의 결정 C) 試驗處理알고리즘 등으로構成되어 있다.

Abstract

In this paper, we present an efficient test algorithm for data processing function of MC68000 μ P. The test vector for functional testing is determined by stuck-at, coupling and transition fault for data storage and transfer. But for data manipulation it is determined by a boolean function of micro-operation. This test algorithm is composed of 3 parts, choosing optimum test instructions for maximizing fault coverage and minimizing test process time, deciding the test order for minimizing test ambiguity, and processing the actual test.

I. 序 論

一般的으로 μ P의 試驗方法은 機能試驗(functional testing)과 構造試驗(structural testing)으로 나누이고

있다.^[1]機能試驗은 μ P를 하나의 시스템으로 여겨, 이自體를 機能의으로 分리한 演算裝置, 記憶裝置, PC(Prgram Counter)등의 機械的인 部分으로 나누어 주어진 試驗벡터로 處理하는 方法이며, 構造試驗은 시스템의 回路에 대한 知識을 가지고 D-알고리즘등을 利用하여 實在回路의 試驗을 하는 것이다.^[2,3] μ P와 같은 LSI/VLSI回路들은 内部의 複雜性과 内部構造에 대한 產業上의 秘密로 정확한 論理說計圖를 알 수 없기 때문에 構造試驗을 主로 하고 있다.^[4,5,6]

μ P의 試驗을 위한 일반적인 모델은 크게 데이터處理部와 制御部로 兩分시킬 수 있다.^[7] 데이터 處理部

*正會員, 東亞大學校 電算工學科

(Dept. of Comp. Eng., Dong A Univ.)

**正會員, 慶北大學校 電子工學科

(Dept. of Elec. Eng., Kyungpook National Univ.)

接受日字：1985年 8月 26日

는 데이터 貯藏要素(버퍼, 레지스터, 파일 등), 데이터 傳送要素(버스, MUX, DEMUX 등), 데이터 操作要素(ALU, 셀프터, 비교기 등)들로構成되어 있다. 制御部는 命令語 및 레지스터를 디코오딩하여 命令實行에 필요한 일련의 制御信號를 발생시키는 것으로 이것의 機能은 試驗의 初期에 點檢된다.^[8]

本論文에서는 μ P의 制御部를 點檢하여 正常으로 환정된 후 데이터 處理部의 機能故障을 檢出하기 위한 효율적인 試驗方法을 論하였다. 本研究의 對象은 MC68000 μ P이며 이것에 대한 最適試驗命令語의 選定, 試驗順序의 결정, 試驗處理 등에 대한 알고리즘을 제시하였다. 本論文에서 提案한 方法은 일반적인 μ P에 適用할 수 있다.

II. 最適試驗命令語

μ P의 試驗을 一般化하기 위해 命令語를 分析하여 試驗處理線圖로 記述하고 이를 토대로 最適試驗命令語^[9]를 구한다.

1. 試驗處理線圖

試驗을 위한 μ P의 記述에는 그래프모델^[6,9,12] 및 HDL(Hardware Description Language)^[10,11]등이 提案되었는데 本研究에서는 μ P의 機能的構成圖와命令語를 이용한 試驗處理線圖를 사용하여 이것은 아래의 要素로構成된다.

- i) 命令語에 의해 사용되어지는 記憶素子는 1型頂點(圓形)으로 나타낸다.
- ii) 命令語 實行時 수행되는 마이크로 오퍼레이션은 2型頂點(矩形)으로 나타낸다.
- iii) 1型頂點이 2型頂點에 의해 處理될 때는 그 사이에 弧(arc)가 존재한다.
- iv) 1型頂點中 入力위치에 있는 頂點은 소스(source)라 하고 出力위치에 있는 頂點은 싱크(sink)라 한다.
- v) 試驗處理線圖가 한 個의 完全連結成分으로構成되어 있으면 單數試驗處理線圖이고 그렇지 않으면 複數試驗處理線圖라 한다.

例 1) 試驗處理線圖는 MC68000 μ P의 命令語들을 사용하여 다음과 같이 설명되어 진다.

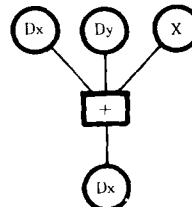
2. 最適試驗命令語의 選定

最適試驗命令語란 μ P內의 모든 構造 및 機能을 포함하는 最少限의 試驗命令語로서 最少의 試驗處理時間과 最大의 故障點檢率(fault coverage)을 동시에 만족하도록 선정된다.

各命令語에 대한 試驗處理線圖는 그 構造에 따라 클래스 C_i ($1 \leq i \leq N$, $N = 1, 2, \dots, n$)로 나눈 후 다음

1) 單數試驗處理線圖

ADDX. L Dy, Dx



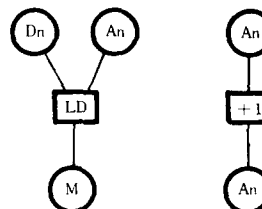
확장비트(extract bit) X와 데이터레지스터 Dx 및 Dy의 데이터가 더해져 그 결과가 Dx에 저장된다.

그림 1. 단수시험처리선도의 예

Fig. 1. Example of simple test execution graph.

2) 複數試驗處理線圖

MOVE. B Dn, An



데이터레지스터 Dn의 내용이 어드레스레지스터 An이 설정하는 외부 데이터메모리에 저장되고 그린 뒤 어드레스레지스터 An은 +1 만큼 증가된다.

그림 2. 복수시험처리선도의 예

Fig. 2. Example of multiple test execution graph.

과 같이 세가지 線圖로 分류한다.

- i) 必須線圖: 같은 오퍼레이션 그룹에 속하는 命令語의 線圖중에서 構造의으로나 機能의으로 도미넌트(dominant) 관계에 있는 線圖
- ii) 適任線圖: 같은 오퍼레이션 그룹에 속하는 命令語의 線圖중 機能은 같지만 構造가 다른 線圖중에서 最適試驗命令語의 構成에 적임인 線圖
- iii) 除去線圖: 같은 오퍼레이션 그룹에 속하는 命令語言의 線圖중에서 그 構造와 機能이 必須線圖 및 適任線圖들에 완전 포함관계에 있는 線圖

다음 알고리즘 A는 最適의 試驗命令語를 選定하기 위한 것으로 命令語에 대한 試驗處理線圖 記述, 必須線圖 및 適任線圖의 결정 그리고 試驗命令語 결정의 과정을 거친다.

MC68000 μ P의 總命令語 數는 레지스터를 별도로 고려하지 않는 경우 1544개이며 알고리즘 A를 수행한 결과 表 1에 보인 바와 같이 65개의 最適試驗命令語가 선정되었다.

III. 最適試驗命令語의 試驗順序

Algorithm A

```

// choose optimum test instructions //

Procedure Optimum Test Instruction
declare Ci→class of test execution graph
    Gs→structural dominant graph
    Gf→functional dominant graph
    Ge→eligible graph
begin
    for all instructions do begin
        compose test execution graph of instruction;
        determine Ci of test execution graph;
    end;
    for all test execution graph do begin
        determine Gs by Ci;
        determine Gf in  $\overline{G_s}$ ; //  $\overline{G_s}$  is complement of Gs //
        determine Ge in  $\overline{G_s} \cup \overline{G_f}$ ;
        G* ← Gs U Gf U Ge; // final test execution graph for test //
        take instructions in G*; // optimum test instructions //
    end;
end;

```

試験命令語의 試験順序는 故障마스크(fault mask)에 의한 試験의 모호성(test ambiguity)이 最少가 되도록 start small method^[6]의 概念을 도입하여 결정한다. 定義1, 2, 3은 이에 필요하다.

定義1 : 클래스 C_i속의 命令語들은 다음 파라미터에 의해 副クラス C^a($1 \leq a \leq G$, $G = 1, 2, \dots, g$)로 나뉘어진다.

- i) 複合度 k : 複數試験處理線圖의 完全連結成分의 數
- ii) 深度 p : 試験處理線圖의 最大層(layer)의 數

定義2 : 副クラス C^a속의 命令語들은 다음 파라미터의 최대값에 의해 블록 B_a로 나뉘어진다.

i) 命令度 r : 記憶素子에 試験벡터를 發生시킬 수 있는 容易性 : 한 記憶素子에 情報가 도달하기 위해 命令度 i-1의 記憶素子를 통과해야 한다면 이 記憶素子의 命令度는 i($i > 1$)이다.

ii) 觀察度 q : 記憶素子로 부터 試験되어 나온 결과를 觀察할 수 있는 容易性 : 한 記憶素子에 들어있는

五 1. MC68000μP의 데이터 처리 機能試験을 위한 最適試験命令語**Table 1.** Optimal test instructions for MC68000μP data processing function testing.

operation type	testingorder	essential graph instruction	eligible graph instruction
data-movement operation	4	SWAP D 1	
	6	EXG D3, D4	
	7	EXG D5, A 0	
	8	EXG A1, A 2	
	23	UNLK A 0	
	41	LINK A1, #⟨displacement⟩	MOVEQ. L #data, D 0
	3	.	MOVEA. L D6, A5
	9	.	MOVEP. L A0@(d), D6
	20	.	MOVEM. L A2@+, ⟨reg. L⟩
	22	.	LEA AO@(d, D0), A2
	43	.	MOVEM. L ⟨reg. L⟩, A2@(d, D2)
	49	.	MOVE. W SR, A4@(d, D4)
integer-arithmetic operation	50	.	PEA PC@(d, D7)
	57	.	
	5	EXT. L D 2	
	52	CMPM. L A6@+, A0@+	ADDA. L #data, A6
	14	.	DIVS XXX. W, D5
	19	.	TAS A1@
	21	.	MULU A3@(d, D3), D0
	48	.	CLR. L A5@(d, D5)
	51	.	ADDI. L #data, A6@(d, A0)
	58	.	SUBQ. L #data, A0@(d, A1)
logical-operation	59	.	NEGX. L A3@(d, A4)
	62	.	
logical-operation	37		OR. L XXX. L, D7

operation type	testingorder	essential graph instruction'	eligible graph instruction
	39 60		NOT. L A4@(d) EOR. L D1, A1@(d, A2)
shift-rotate operation	13		LSL. L # data, D7
	15		ASR. L D0, D1
	38		ROR. L XXX. L
	61		ROXL. L A2@(d, A3)
bit-manipulation operation	64	BCHG. L D2, A4@(d, A5)	
	53	BSET. L # data, A1@+	BCLR. L # data, XXX. L
	63		
binary-coded decimal D operation	18		SBCD D3, D4
	54		NBCD A2@-
	55		ABCD A3@-, A4@-
program-control operation	33	BSR. W (label)	
	35	RTR	
	17		SCS D2
	24		DBCC D7
	25		DBEQ D0
	26		DBGE D1
	27		DBHI D2
	28		DBLS D3
	29		DBMI D4
	30		DBPL D5
	31		DBVC D6
	32		SCF XXX. W
	34		SCT A3@
	40		SLE A5@-
	42		SLT A6@+
	45		JSR PC@(d)
	46		SNE XXX. L
	47		ST A1@(d)
	56		SVS A5@(d, D6)
system control operation	1	RESET	
	11	MOVE A3, USP	
	10	MOVE USP, A4	
	16	STOP # XXX	
	36	RTE	
	65	CHK A5@(d, A6), D3	
	12		ANDI. W # data, SR
	44		MOVE PC@(d, D1), CCR
no-operation	2	NOP	

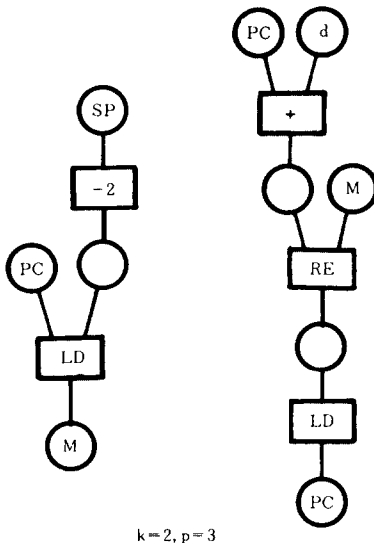
情報가 觀察度 $j - 1$ 의 記憶素子를 통과하여야 外部에서 觀察할 수 있다면 이 記憶素子의 觀察度는 $j(j > 1)$ 이다.

μP 의 外部素子는 命令度 및 觀察度가 각각 1이다.

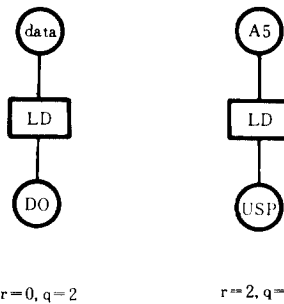
그리고 即值(immediate value)는 命令度를 0으로 한다.

定義 3 : 블록 B 속의 命令語들은 다음 파라미터의 최대값에 의해 副블록 B^* ($1 \leq \beta \leq B$, $B = 1, 2, \dots, b$)로

JSR PC@(d)

그림 3. 시험처리선도의 복합도 k 와 심도 p Fig. 3. Complexity k and depth p of test execution graph.

MOVEQ. L #data, DO MOVE A5, USP

그림 4. 시험처리선도의 명령도 r 및 관찰도 q Fig. 4. Commandability r and observability q of test execution graph.

나뉘어진다.

i) 記憶素子 크기 s : 記憶素子의 비트 크기로서 바이트(byte)의 배수로 주어진다.ii) 오퍼레이션 크기 w : 오퍼레이션의 비트 크기로서 바이트(byte)의 배수로 주어진다. 단 unsized operation은 0으로 한다.例 4) ADDA. L #data, A6 : $s = 4$, $w = 4$ ANDI. W # data, SR : $s = 2$, $n = 2$

다음 알고리즘 B는 定義 1, 2, 3의 順으로 最適試驗

命令語를 세분하여 그 試驗順序를 결정하기 위한 것이다. 알고리즘 遂行結果를 表 1에 보였다.

Algorithm B

// determine the test order of optimum test instructions //

Procedure Sort (d, A, B)

// subroutine for sorting of instructions //

begin

sort the group for A; // incrementing order for A //

sort the group of the same A for B; // incrementing order for B //

let the sorted group to X_1, X_2, \dots, X_d ;

end;

Procedure Test Order

declare $C_i \rightarrow$ class of test execution graph $C_i^a \rightarrow$ sub-class of test execution graph $B_j \rightarrow$ block of test execution graph $B_j^a \rightarrow$ sub-block of test execution graph $K \rightarrow$ complexity of test execution graph $P \rightarrow$ depth of test execution graph $r \rightarrow$ commandability of source k, p $q \rightarrow$ observability of sink $m \rightarrow$ bit size of memory $n \rightarrow$ bit size of operation

begin

for $i = 1$ to 16 do begintake all test instructions in C_i ;determine k and p of all test instructions in C_i ;group instructions of the same k and p ;call Sort(e, k, p);for $a = 1$ to e do beginfor all instructions in C_i^a determine r and q ;group instructions of the same r and q ;call Sort(l, r, q);for $j = 1$ to l do beginfor all instructions in B_j ;determine m and n ;group instructions of the same m and n ;call Sort(s, m, n);for $\beta = 1$ to s do begintake the B_j^β ;

end;

IV. 機能故障 모델과 試驗벡터

μ P의 機能은 命令語 디코오딩 및 레지스터 디코오딩의 制御部機能과 데이터 貯藏, 데이터 操作, 데이터 傳送등의 데이터 處理部機能으로 대별되며^[12] 이에 대한 試驗을 구분 실시한다.

1. 機能故障 모델

試驗處理線圖를 통해 구해진 表 1의 最適試驗命令語을 對象으로 하여 데이터 處理機能故障 모델을 제

시하고 이들에 대한 試驗벡터를 결정한다.

1) 데이터 貯藏機能에 대한 故障

MC68000 μ P에는 데이터 레지스터 (D0-D7) 와 어드레스 레지스터 (A0-A6) 그리고 USP, SSP 및 SR 등이 내장되어 있으며 이들에는 다음과 같은 故障이 발생할 수 있다.

- i) stuck-at 1 혹은 stuck-at 0
- ii) $0 \rightarrow 1 \rightarrow 0$ 혹은 $1 \rightarrow 0 \rightarrow 1$ 의 遷移 (transition)
- 불능

iii) 두개 以上의 셀 (cell) 상호간의 結合 (coupling)

2) 데이터 傳送機能에 대한 故障

試驗對象이 되는 傳送路는 命令語를 實行하는 동안에 데이터가 흐르는 論理的 傳送路이며 이들에는 다음과 같은 故障이 발생할 수 있다.

- i) stuck-at 1 혹은 stuck-at 0
- ii) 두개 以上의 傳送路 상호간의 結合 (coupling)

3) 데이터 操作機能에 대한 故障

데이터 操作機能이란 命令語의 마이크로 오퍼레이션에 해당하며 이 機能에 대한 故障은 ALU, 인터럽트비밀 그리고 SP, IR 및 PC의 인크리멘팅 (incrementing) 및 디크리멘팅 (decrementing)에 사용되는 비밀과 指標어드레싱 (indexed addressing) 및 相對어드레싱 (relative addressing)과 같은 여러가지 어드레싱 모드속에 들어있는 오퍼랜드의 어드레스를 계산하는데 사용되는 비밀등의 故障이 原因이 된다. 이들은 機能이 아주 다양하기 때문에 特定의 故障모델을 제시하기 곤란하므로 각 마이크로 오퍼레이션의 機能에 대한 모든 가능한 試驗벡터를 구한다.

2. 試驗벡터

제시된 故障모델의 機能故障을 檢出하기 위한 試驗벡터를 결정한다. 데이터 貯藏 및 傳送機能 故障의 檢出에 필요한 試驗벡터는 대부분 공통되므로 試驗의 편의상 동시에 취급하고 데이터 操作機能에 대한 試驗벡터는 각 마이크로 오퍼레이션을 부울函數로 표현한 후 이를 토대로 구한다.

1) 데이터 貯藏 및 傳送機能에 대한 試驗벡터

命令語의 데이터 貯藏 및 傳送機能 故障을 檢出하기 위한 試驗벡터 V_s 는 다음과 같다.

$$\begin{array}{ccccccccc} 00\cdots 0 & ; & 00\cdots 0 & 11\cdots 1 & ; & 00\cdots 0 & 11\cdots 1 & 00\cdots 0 & 11\cdots 1 \\ \hline w \text{ bit} & & w/2 & w/2 & & w/4 & w/4 & w/4 & w/4 \\ \cdots & ; & \overline{0101\cdots 01} & & & & & & \end{array}$$

및 補의 값 그리고

$$\begin{array}{ccccccccc} 00\cdots 001 & ; & 00\cdots 010 & 00\cdots 100 & \cdots & 100\cdots 00 \\ \hline w \text{ bit} & & w \text{ bit} & w \text{ bit} & & w \text{ bit} & & \end{array}$$

및 補의 값

試驗벡터 V_s 중에서 00…0 및 11…1은 故障모델 1)

i) 및 2) i) 을 檢出하기 위한 것이다. 그리고 1) ii) 의 故障은 試驗벡터 V_s 의 組合에서 모든 비트가 最少限 한번씩은 $0 \rightarrow 1 \rightarrow 0$ 및 $1 \rightarrow 0 \rightarrow 1$ 로 遷移하도록 주어지므로 檢出할 수 있다. 또한 1) iii) 및 2) ii) 의 故障은 雙의 結合인 경우 $00\cdots 011\cdots 1$; …; $0101\cdots 01$ 및 補의 값에 의해 檢出되고 個個의 結合인 경우 $00\cdots 001$; …; $100\cdots 00$ 및 補의 값에 의해 檢出된다.

試驗命令語의 오퍼레이션이 데이터 移動 ($R_i \leftarrow R_j$) 인 경우 소오스 R_i 를 試驗벡터 V_s 로써 初期化시키면 R_i 와 R_j 의 데이터 貯藏機能과 傳送機能을 동시에 點檢 할 수 있다. 그러나 데이터操作 ($R_i \leftarrow R_k$ 및 $R_i \bigcirc R_j \rightarrow R_k$, 단 \bigcirc 은 manipulation operator 임)인 경우에는 각 소오스 R_i , R_j 및 싱크 R_k 의 데이터 貯藏機能과 각 소오스-ALU 및 ALU-싱크사이의 데이터 傳送機能을 點檢하기 위한 試驗벡터가 별도로 요구된다.

例 5) 다음 試驗命令語의 데이터 貯藏 및 傳送機能을 點檢하기 위한 試驗벡터를 구한다.

$$\text{i) MOVEA. L D6, A5}$$

$$[D6 : A5] = [V_s; dd\cdots d]$$

단 d는 don't care임

$$\text{ii) OR. L XXX. L, D7}$$

$$[XXX. L; D7] = \begin{bmatrix} V_s & ; 00000000 \\ 00000000; & V_s \end{bmatrix}$$

2) 데이터 操作機能에 대한 試驗벡터 마이크로 오퍼레이션 機能 故障 檢出에 필요한 試驗벡터 V_m 을 구하기 위해 이들 機能을 다음과 같이 부울函數로 표현한

$$Z = F(X, Y, \dots) \equiv z_1 = f_1(X, Y, \dots)$$

$$z_2 = f_2(X, Y, \dots)$$

⋮

$$z_p = f_p(X, Y, \dots)$$

여기서 $X = x_1, x_2, \dots, x_n$

$$Y = y_1, y_2, \dots, y_n$$

$$Z = z_1, z_2, \dots, z_p, p \geq n$$

윗式에서 오퍼랜드의 i번 째 비트와 결과 Z의 i번 째 비트의 관계를 나타내기 위해 부울함수 $f(x)$ 를 다음과 같이 전개시킨다.

$$f_i(X, Y, \dots) = \sum \bar{x}_i \cdots \bar{y}_i \cdots C_i$$

여기서 $\bar{x}_i : x_i$ 혹은 \bar{x}_i

$$\bar{y}_i : y_i$$
 혹은 \bar{y}_i

$$C_i' : \text{변수 } x_k, y_k \text{의 부울式 (단, } k \neq i \text{)}$$

윗式을 이용하여 다음과 같이 각 마이크로 오퍼레이션을 표현한다.

$$\text{- complement: } Z = \bar{X}$$

$$\forall i, Z_i = \bar{x}_i \cdot 1 + x_i \cdot 0$$

- AND : $Z = X \cdot Y$

$$\forall i, Z_i = x_i \cdot y_i \cdot 1 + \bar{x}_i \cdot y_i \cdot 0 + x_i \cdot \bar{y}_i \cdot 0 + \bar{x}_i \cdot \bar{y}_i \cdot 0$$

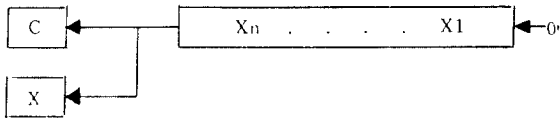
$$C_i^0 = C_i^1 = C_i^2 = 0, C_i^3 = 1$$

- OR : $Z = X + Y$

$$\forall i, Z_i = \bar{x}_i \cdot \bar{y}_i \cdot 0 + \bar{x}_i \cdot y_i \cdot 1 + x_i \cdot \bar{y}_i \cdot 1 + x_i \cdot y_i \cdot 1$$

$$C_i^0 = 0, C_i^1 = C_i^2 = C_i^3 = 1$$

- logical shift left

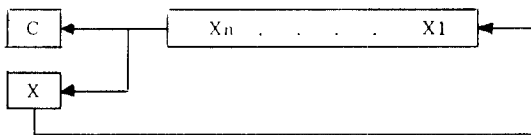


$$\forall i \in [2, n] Z_i = \bar{x}_i \cdot \bar{x}_{i-1} \cdot 0 + \bar{x}_i \cdot x_{i-1} \cdot 1 + x_i \cdot \bar{x}_{i-1} \cdot 0 + x_i \cdot x_{i-1} \cdot 1$$

$$Z_1 = 0$$

$$Z_{n+1} = C = X = x_n$$

- rotate left with Extend

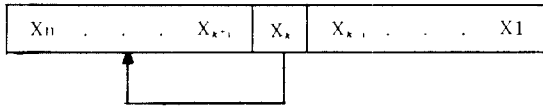


$$\forall i \in [2, n] Z_i = \bar{x}_i \cdot \bar{x}_{i-1} \cdot 0 + \bar{x}_i \cdot x_{i-1} \cdot 1 + x_i \cdot \bar{x}_{i-1} \cdot 0 + x_i \cdot x_{i-1} \cdot 1$$

$$Z_1 = X$$

$$C = X = x_n$$

- sign extend



$$\forall i \in [1, k] Z_i = x_i$$

$$\forall i \in [k+1, n] Z_i = \bar{x}_j \cdot \bar{x}_k \cdot 0 + \bar{x}_j \cdot x_k \cdot 1 + x_j \cdot \bar{x}_k \cdot 0 + x_j \cdot x_k \cdot 1 \quad j$$

- add with carry

$$\forall i \in [1, n] Z_i = \bar{x}_i \cdot \bar{y}_i \cdot C_i + \bar{x}_i \cdot y_i \cdot \bar{C}_i + x_i \cdot \bar{y}_i \cdot \bar{C}_i + x_i \cdot y_i \cdot C_i$$

$$C_i = x_{i-1} \cdot y_{i-1} + C_{i-1} (x_{i-1} + y_{i-1})$$

- subtract with borrow

$$\forall i \in [1, n] Z_i = \bar{x}_i \cdot \bar{y}_i \cdot C_i + \bar{x}_i \cdot y_i \cdot \bar{C}_i + x_i \cdot \bar{y}_i \cdot \bar{C}_i + x_i \cdot y_i \cdot C_i$$

$$C_i = \bar{x}_{i-1} \cdot y_{i-1} + C_{i-1} (\bar{x}_{i-1} + y_{i-1})$$

마이크로 오퍼레이션이 부울함수로 표현되면 다음과 같은 관점에서 시험벡터를 결정한다.

i) 오퍼랜드의 i번째 비트의 모든 가능 조합을 취하여 변수 x_i, y_i 의 합을 테스트한다.

ii) 모든 부울식 C'_i 에 真(1) 및 爲(0)를 대입하여 C_i 를 테스트한다.

예 6) 테스트 명령어 ADDA.L # data, A6의 Add 오퍼레이션에 대한 테스트 벡터를 구한다.

Add 오퍼레이션의 부울函數에서 변수 x_i, y_i 의 합에 대한 가능한 비트組合은 $(0, 0), (0, 1), (1, 0), (1, 1)$ 이다. 그리고 부울식 C_i 의 값이 真 및 爲가 되는 경우는 다음과 같으므로 이를 중 $x_{i-1} = y_{i-1} = 0$ 및 $x_{i-1} = y_{i-1} = 1$ 을 선택한다.

$$C_i = 0 \begin{cases} x_{i-1} = y_{i-1} = 0 \\ x_{i-1} \cdot y_{i-1} = 0 \text{ 및 } C_{i-1} = 0 \end{cases}$$

$$C_i = 1 \begin{cases} x_{i-1} = y_{i-1} = 1 \\ x_{i-1} = C_{i-1} = 1 \\ y_{i-1} = C_{i-1} = 1 \end{cases}$$

그러므로 Add 오퍼레이션의 i번째 비트에 대한 테스트 벡터는 다음과 같이 8개의 비트形態로 나타난다.

$x_{21} \cdots x_{i+1}$	x_i	$x_{i-1} \cdots x_1 x_0$	$y_{21} \cdots y_{i+1}$	y_i	$y_{i-1} \cdots y_1 y_0$
0	0	0	0	0	0
0	1	0	0	1	0
0	1	0	1	1	1
0	0	0	1	0	0
d	1	0	d	0	0
d	1	1	1	1	1
d	1	1	1	1	0

여기서 d는 don't care이며 이것을 전 오퍼레이션 비트까지 확장시켜 테스트 벡터를 구하면 다음과 같다.

```
[# data; A6]=[00000000; 00000000]
      55555555; 55555555
      55555555; FFFFFFFF
      00000000; AAAAAAAA
      FFFFFFFF; 55555555
      AAAAAAAA; 00000000
      AAAAAAAA; AAAAAAAA
      FFFFFFFF; FFFFFFFF
      AAAAAAAA; FFFFFFFF
      00000000; 55555555
      55555555; 00000000
      [ FFFFFFFF; AAAAAAAA ]
```

V. 테스트 처리

선정된 最適 테스트 명령어에 대한 데이터 处理機能 테스트는 데이터 贯储機能, 데이터 傳送機能, 데이터 操作機能을 동시에 점검할 수 있도록 이를 각각의 故障検出에 필요한 테스트 벡터의 합집합이 최종적인 테스트 벡터가되어 각 테스트 명령어의 소요스를 初期화시킨다. 따라서 테스트 벡터가 U개인 테스트 명령어인 경우 테스트 처리를 U번

반복해야 한다.

最適試験命令語 상호간에 共通의 貯藏要素나 오퍼레이션 機能을 포함하는 경우에는 이미 點檢된 부분은 그 다음 試験命令語의 試験벡터에서 제외시킨다. 最適試験命令語에 대한 試験處理 알고리즘은 다음과 같다.

Algorithm C

```
//process of test for optimum test instructions//

Procedure Test Processing
    declare Vs→test vector for data storage function and transfer function
    Vm→test vector for data manipulation function
    S(I)→source of instruction
    D(I)→sink of instruction
    begin
        a: for all test instruction do begin
            take instruction; //according to increasing test order//
            determine Vs;
            determine Vm;
        c: V*←VsU Vm; //final testvector for test instruction//
            for all V* do begin
                initialize S(I) and D(I) with V*;
            d: execute instruction;
            e: compare D(I) with expected value;
                if result≠expected value then goto error;
            end;
            write "GOOD"
        end;
        error; write "ERROR"; stop
    end;
```

定理 1 : 알고리즘 C는 制御部의 디코오딩故障이 없는 狀態下에서 데이터 處理機能故障을 檢出한다.

證明 : 단계 a의 最適試験命令語는 MC 68000 μ P의 모든 레지스터, 어드레싱 모드 및 마이크로 오퍼레이션을 포함하고 있으므로 μ P內의 하드웨어 故障은 이들 命令語의 實行時에 반드시 그 故障效果가 나타난다. 단계 b에서는 알고리즘 B에서 定해진 試験順序대로 命令語를 遂行시키므로 故障의 겹침에 의한 故障마스크가 발생하지 않는다. 단계 c에서는 데이터 貯藏, 데이터 傳送 및 데이터 操作에 대한 機能故障을 모두 고려한 試験벡터를 결정하였다. 그러므로 制御部의 디코오딩 機能故障이 없다고 가정할 때 단계 d에서 命令語의 實行時 I₁/I₂ 故障^[8]에 의한 故障마스크가 없으므로 이들 데이터 處理部의 故障이 존재한다면 結果가 틀리게 된다. 따라서 단계 e에서 命令語의 實行結果와 기대값이 다를것이므로 故障이 檢出된다. Q. E. D

IV. 結論

MC 68000 μ P의 데이터 處理機能에 관한 효율적인 試験알고리즘을 제시하였다. 本 알고리즘은 User's manual의 情報를 이용하였으며 最適試験命令語의 選定 알고리즘, 試験順序 알고리즘, 試験處理 알고리즘 등으로構成되었다. 最適試験命令語를 選定하기 위하여 알고

리즘 A을 적용하였으며 그 結果 總 命令語 1544個중 65個의 最適試験命令語를 구하였다. 그런 뒤 故障마스크에 의한 試験의 模糊性을 最少로 하기 위해 最適試験命令語에 대한 試験順序를 결정하였다. 알고리즘 B는 이를 위한 것이다.

機能試験을 위한 試験벡터는 데이터 處理部의 stuck-at, 結合, 遷移故障 등을 고려하여 결정하였고 마이크로 오퍼레이션 機能은 부울函數를 이용함으로서 試験벡터를 體系的으로 구할 수 있었다. 이것은 試験벡터의 自動的 生成 (automatic test vector generation)을 可能하게 한다. 알고리즘 C는 이들 試験벡터를 사용하여 最適試験命令語를 시험하는 試験處理 알고리즘이다.

本 試験알고리즘은 특히 試験의 效率性을 강조하고 있으므로 命令語 디코오딩機能의 試験알고리즘^[8]과 함께 짧은 時間동안에 칩(chip)에 대한 機能試験을 할 수 있다. 따라서 製作中の 칩에 대한 試験은 물론 本 칩을 사용하는 SSM-16등의 시스템의 시험도 시스템의 여유시간(idle time) 동안에 이를 수 있다.

参考文献

- [1] W. Barraclogh, "Techniques for testing the microcomputer family," *Proc. IEEE*, vol. 64, pp. 943-950, 1976.
- [2] B. Courtois, "On line oriented functional testing of control sections of intergrated CPUs," *Proc. Euromicro 7*, pp. 221-231, 1981.
- [3] 김충기, "MOS technology development," 전자기술연구소 연구보고서 pp. 243- 325, 1983.
- [4] M. Annaratone, "An approach to functional testing of microprocessor," *Proc. FTCS-12*, pp. 158-164, 1982.
- [5] C. Robach, "Application oriented microprocessor test method," *Proc. FTCS-10*, pp. 121-125, 1980.
- [6] R. Chantal, "Microprocessor functional testing," *IEEE Test Conference*, pp. 433-443, 1980.
- [7] S. Thatte, "A methodology for functional level testing of microprocessors," *Proc. FTCS-8*, pp. 90-95, 1978.
- [8] 김종훈, 안광선, "MC68000 μ P의 명령어 디코오딩 기능에 관한 시험알고리즘," *대한전자공학회지*, vol. 22, 1985.

- [9] 김종훈, 안광선, “AHPL로 기술된 디지털시스템에 대한 시 험백터의 생성 알고리즘,” 대한전자공학회 추계 학술 발표논문집, pp. 300 – 302, 1984.
- [10] Y. Levendel, “Test generation algorithms for computer hardware description languages,” *IEEE Trans. on Computer*, pp. 577-588, 1982.
- [11] 안광선, “마이크로프로세서 데이터 처리시험을 위한 최적시험명령어,” 대한전자공학회지, vol. 21, pp. 57 – 61, 1984.
- [12] S. Thatte, “Test generation for microprocessors,” *IEEE Trans. on Computer*, pp. 429-440, 1980.